

## Двумерные вариации как средство оценивания сложности изображений\*

П. А. Чочиа

chochia@iitp.ru

Институт проблем передачи информации РАН, Москва 127051, Большой Каретный пер., д. 19

Исследованы вопросы оценки *сложности* изображения, которая интерпретируется как характеристика, отражающая число, размеры и заметность его деталей. Исследованы возможности использования для этого двумерных вариаций. Рассмотрены модификации известных двумерных вариаций в применении к дискретным изображениям. Предложена оценка, названная *показатель размеров объектов*. Теоретические выводы подтверждены экспериментальными исследованиями. Проведен анализ изменения значений двумерных вариаций изображения при увеличении шума, а также при сглаживании и декомпозиции. Показано, что предложенная комбинация двумерных вариаций отражает морфологическую структуру изображения и может служить оценкой его сложности.

**Ключевые слова:** *двумерные вариации; сложность изображения; обработка видеoinформации*

DOI: 10.21469/22233792.1.12.02

## Two-dimensional variation as an image complexity assessment\*

P. A. Chochia

Institute for Information Transmission Problems RAS, 19 Bolshoy Karetny, Moscow, Russia

The questions of *image complexity* assessment and using of two-dimensional variations are studied. The image complexity is interpreted as some attribute which is specified by the quantity, the sizes, and the visibility of image details. Different known two-dimensional variation methods are considered in their application to digital images. The modified assessment is proposed that is named as the *component size index*. The change of variations under different image transformations are analyzed. Theoretical conclusions are confirmed by the experimental explorations. The proposed combination of two-dimensional variations was demonstrated to reflect morphological structure of an image and to assess its complexity.

**Keywords:** *two-dimensional variation; image complexity; image processing*

DOI: 10.21469/22233792.1.12.02

### 1 Введение

Применение методов обработки видеoinформации предполагает оценку получаемого результата. В задачах, которые удается формулировать как задачи восстановления или фильтрации сигнала, для этой цели часто используются различные варианты отклонений (MSE — mean square error, PSNR — peak signal-to-noise ratio, SSIM — structural similarity и др.), которые удобны в теоретических разработках, а также в случаях, когда исходный сигнал известен. В реальных же ситуациях неискаженный сигнал недоступен. При

---

\*Работа выполнена при финансовой поддержке Российского научного фонда, проект № 14-50-00150.

таких условий хотелось бы найти численную оценку результата, которая была бы адекватна изображению как двумерной функции и при этом не использовала бы оригинальный сигнал.

Для решения подобной задачи, как правило, предлагаются методы, использующие один из следующих двух подходов. Первый заключается в попытке решения задачи оценивания качества изображения [1, 2]. Второй чаще всего связан с независимым оцениванием сложности сигнала, но обычно его используют при существенных ограничениях, например в задаче сжатия [3] или в задаче автоматического опознавания целей [4].

Применительно к изображению, которое является двумерным сигналом, также хотелось бы выбрать оценку, характеризующую его пространственную изменчивость. Плодотворным здесь представляется подход, основанный на рассмотрении изображения как функции с ограниченной вариацией [5] и оценивании ее изменчивости при помощи механизма двумерных и многомерных вариаций [6–9]. Вопрос возможности применения двумерных вариаций для оценки изображения рассматривался в статьях [10–12]; настоящая работа является продолжением указанных исследований.

В работе рассматриваются варианты реализации различных двумерных вариаций в применении к дискретным сигналам и исследованы возможности их использования для оценки сложности изображений. Сложность изображения интерпретируется как характеристика, отражающая число, размеры и заметность (контраст) его деталей. Также полагается, что при увеличении числа и контраста деталей сложность изображения должна возрастать, а при увеличении размеров деталей — уменьшаться.

Понятие сложности трактуется по-разному для сигналов, функций и потока сообщений. Одномерный сигнал, являющийся действительной функцией времени, характеризуется энергией, длительностью и шириной спектра [13]. Сложность аналитической функции многих переменных принято характеризовать числом ее переменных  $n$ , а для  $s$  раз дифференцируемых функций — отношением  $n/s$  [14]. Теоретико-информационный подход к оценке сложности потока сообщений, представимого в дискретном виде, основан на вычислении энтропии  $H = -\sum p(z) \log(p(z))$ , где  $p(z)$  — вероятность элемента изображения со значением  $z$ . Иногда для оценивания сложности дискретного сигнала используется коэффициент сокращения объема данных (количества бит), который требуется для восстановления. Такой подход, идеологически близкий понятию колмогоровской сложности [15], связан с необходимостью выбора того или иного алгоритма сжатия и по сути является вариантом энтропийного оценивания.

Каждый из указанных способов оценки сложности по тем или иным причинам мало или даже совсем не применим к изображению как двумерной функции яркости пространственных координат, отражающей некоторую физическую характеристику наблюдаемой сцены. В частности, существенный общий недостаток перечисленных вариантов оценок заключается в том, что они не являются метрическими характеристиками и не зависят от амплитуды сигнала.

## 2 Двумерные вариации и их дискретные аналоги

Распространенной метрической характеристикой изменчивости и сложности одномерной функции на отрезке  $[a, b]$  является вариация. Считая функцию  $f(x)$  отражением некоторой реальной физической величины (например, энергии или плотности), можно полагать, что  $f(x)$  на наблюдаемом отрезке ограничена и имеет конечное число точек разрыва первого рода. Тогда  $f(x)$  является функцией с ограниченной полной вариацией, которая по определению есть величина

$$V_a^b(z(x)) \triangleq \sup_P \sum_{k=0}^{K-1} \|z(x_{k+1}) - z(x_k)\|, \quad (1)$$

т. е. точная верхняя грань по всем возможным разбиениям  $P$  отрезка  $[a, b]$ . В контексте кусочно-постоянной модели изображения [16] существенно отметить, что значение вариации не изменяется при «вставке» в функцию  $z(x)$  участков вида  $z(x) = const$ ,  $\{x \in [c, d] \subset [a, b]\}$ , если при этом не добавляются разрывы первого рода.

Полная вариация  $V_a^b(z(x))$  может служить удовлетворительной оценкой сложности одномерной функции. Предложено много ее обобщений на случай функции многих переменных (вариации Витали, Арцела, Фреше, Тонелли и др.). Все они сводятся к тому, что определяется некоторый функционал, ограниченность которого гарантирует наличие у функции ряда свойств, аналогичных свойствам одномерной функции с конечным изменением. Однако перечень таких свойств оказывается ощутимо беднее набора свойств вариации для одномерных функций, хотя при этом и удается формулировать отдельные выводы и теоремы [8]. К тому же возникает определенная неоднозначность многомерных вариаций, в частности связанная с тем, что они существенно зависят от выбора системы координат.

Многомерные вариации (по аналогии с одномерными) формулируются для непрерывных функций как точные верхние грани выбранных функционалов по множеству допустимых разбиений носителя текущими гиперплоскостями на элементарные параллелепипеды. В случае дискретной функции неприятность состоит в том, что минимальное разбиение ограничено снизу пространственной точностью ее представления. Поэтому формулы вариации дискретных функций являются лишь соответствующими аналогами и приближениями формул вариации непрерывных функций, что в некоторых случаях может вызвать определенные неточности. Также необходимо отметить, что далеко не все операции могут быть применимы к дискретной функции без потери информации: например, операции поворота на произвольный угол или операции сжатия как в области носителя, так и в пространстве значений.

Рассмотрим, как будут выглядеть наиболее известные определения вариаций [8, 9, 17] в применении к двумерной дискретной функции  $\mathbf{F} = \{f(i, j)\}$  ( $i = 1, \dots, I; j = 1, \dots, J$ ) на прямоугольном носителе  $D$  с соответствующим разбиением.

*Арцела вариация* [8, 17] по сути является суммой модулей градиентов по координатным осям и представляется формулой:

$$A(\mathbf{F}, D) = \sum_{i=1}^{I-1} \sum_{j=1}^{J-1} (|f(i+1, j) - f(i, j)| + |f(i, j+1) - f(i, j)|). \quad (2)$$

Данный способ оценки изменчивости двумерной функции используется в большинстве теоретических и практических разработок.

*Витали вариация* [8, 17] формально записывается как

$$V(\mathbf{F}, D) = \sum_{i=1}^{I-1} \sum_{j=1}^{J-1} |f(i+1, j+1) + f(i, j) - f(i, j+1) - f(i+1, j)|. \quad (3)$$

В качестве существенного недостатка данного *дискретного* представления вариации следует отметить, что на участках функции  $f(i, j)$ , где наблюдаются перепады ее значений в направлении только одной из координатных осей ( $i$  или  $j$ ), отклик оператора, соответствующего формуле (3), будет равен нулю.

*Пьерпонта вариация* [17, 18] предполагает равномерное разбиение каждой из сторон прямоугольника  $D$  на равные между собой отрезки, что идеологически соответствует равномерной дискретизации носителя. В каждом образуемом элементарном параллелепипеде  $\delta(i, j)$  измеряется величина колебания  $\omega(\mathbf{F}, \delta(i, j))$ , а вариация вычисляется как

$$P(\mathbf{F}, D) = \sum_{i=1}^{I-1} \sum_{j=1}^{J-1} \omega(\mathbf{F}, \delta(i, j)). \tag{4}$$

Согласно [18], колебание  $\omega$  есть  $\omega(\mathbf{F}, \delta(i, j)) = \max\{f(x, y) \in \delta(i, j)\} - \min\{f(x, y) \in \delta(i, j)\}$ , что в дискретном случае можно определить как

$$\omega(\mathbf{F}, \delta(i, j)) = \max\{|f(i+1, j) - f(i, j)|, |f(i, j+1) - f(i, j)|\}.$$

*Тонелли вариация* [8, 17] определяется как сумма одномерных вариаций (1) по всем значениям  $i$  и  $j$  каждой из координат при постоянном значении второй координаты. Пусть  $\psi_1(i)$  — одномерная вариация функции  $f(i, j)$  по  $j$  при  $i = \text{const}$ , а  $\psi_2(j)$  — одномерная вариация функции  $f(i, j)$  по  $i$  при  $j = \text{const}$ . Тогда

$$T(\mathbf{F}, D) = \sum_{i=1}^I \psi_1(i) + \sum_{j=1}^J \psi_2(j). \tag{5}$$

Нетрудно убедиться, что значения, вычисляемые по формулам (5) и (2) будут равны, т. е. вариации Арцела и Тонелли для дискретных функций совпадают.

*Фреше вариация* [17] в формулировке для двумерной дискретной функции совпадает с Харди вариацией [8, 17] и вычисляется следующим образом:

$$\begin{aligned} \Delta_1(f; (i, j)) &= f(i+1, j) - f(i, j); \\ \Delta_2(f; (i, j)) &= \Delta_2(\Delta_1(f; (i, j))) = (f(i+1, j+1) - f(i, j+1)) - (f(i+1, j) - f(i, j)); \end{aligned}$$

$$F(\mathbf{F}, D) = H(\mathbf{F}, D) = \sum_{i=1}^{I-1} \sum_{j=1}^{J-1} |\Delta_2(\Delta_1(f; (i, j)))|. \tag{6}$$

Как легко заметить, формулы (6) и (3) совпадают, т. е. вариации Витали, Фреше и Харди для дискретных функций будут между собой равны, в то время как для непрерывных функций они различаются.

Рассмотренные вариации так или иначе имеют в своей основе значение модуля градиента функции в точке, поэтому их величины и поведение близки между собой.

*Кронрода вариация* [7] в ряду вариаций многомерных функций стоит особняком по той причине, что не использует градиентные характеристики функции, а также дает в результате значения не одного, а нескольких функционалов. Ее рассмотрению посвящен следующий раздел.

### 3 Двумерная вариация Кронрода

Обобщения отдельных выводов и теорем, которые удавалось формулировать, используя определения вышеперечисленных вариаций (для непрерывных функций), привели к выводу, что функция многих переменных должна характеризоваться не одним, а несколькими функционалами, которые в определенном смысле независимы. Данный

тезис был обоснован А. С. Кронродом при изучении функций двух переменных [7]. Основываясь на понятии множеств уровня, он предложил для функции двух переменных использовать два функционала, определяемые следующим образом:

$$w_1(f) = \int_{-\infty}^{\infty} v_0(e_t) dt; \quad w_2(f) = \int_{-\infty}^{\infty} v_1(e_t) dt. \quad (7)$$

Здесь множество  $e_t$  — это  $t$ -уровень функции  $f(x, y)$ , т. е. множество тех точек  $(x, y)$ , в которых  $f(x, y) = t$ ;  $v_0(e_t)$  — число компонент множества  $e_t$ ;  $v_1(e_t)$  — длина  $e_t$  (по Хаусдорфу). Тем самым значение  $w_1$  характеризует число локальных экстремумов функции.

Витушкиным было найдено удачное определение вариации множества, причем данный подход, также основанный на рассмотрении множеств уровня, был расширен для функций многих переменных [8]. Для плоского множества  $e_t$ , которое является  $t$ -уровнем функции  $f(x, y)$ , вариация задается не одним, а тремя значениями:  $v_0$ ,  $v_1$  и  $v_2$ , которые определяются следующим образом.

Пусть  $E$  — замкнутое ограниченное множество на плоскости; тогда вариация  $v_0(E)$  есть число компонент  $E$ , вариация  $v_2(E)$  есть суммарная площадь компонент  $E$ , а значение вариации  $v_1(E)$  определяется следующим выражением [8, 9]:

$$v_1(E) = c \int_0^{2\pi} v_0(E, L_\alpha) d\alpha,$$

где

$$v_0(E, L_\alpha) = \int_{L_\alpha} v_0\left(E \cap (L_\alpha)^\perp_z\right) dz.$$

Здесь  $L_\alpha$  — прямая  $x \cos \alpha + y \sin \alpha = 0$ , а  $(L_\alpha)^\perp_z$  — прямая, проходящая через точку  $z \in L_\alpha$  перпендикулярно к  $L_\alpha$ . Константа  $c$  выбирается таким образом, чтобы для отрезка  $I$  единичной длины на оси  $Ox$  выполнялось соотношение:  $v_1(I) = 1$ . Для случая конечной  $v_0(e_t)$ , вариацию  $v_1(e_t)$  можно интерпретировать как длину границ компонент  $e_t$ . Вариации  $v_0$ ,  $v_1$  и  $v_2$  названы соответственно *нулевой*, *линейной* и *плоской* согласно тому, как изменяются их значения при гомеоморфизме:  $v_0$  не меняется,  $v_1$  меняется линейно с изменением коэффициента растяжения  $K$ , а  $v_2$  меняется пропорционально  $K^2$ , т. е. как площадь плоской фигуры.

Важно отметить, что вариация  $v_0$  множества уровня  $e_t$ , входящая в определение вариации  $w_1(f)$ , является не метрической, а в определенном смысле топологической характеристикой функции, основанной на понятии связности и не изменяющейся при гомеоморфизме. Касательно значения вариации  $w_2(f)$ , в [5] было показано, что для непрерывно дифференцируемой на  $D$  функции  $f(x, y)$  справедливо равенство:

$$w_2(f) = \iint_D |\text{grad}(f(x, y))| dx dy,$$

т. е.  $w_2(f)$  является интегралом модуля градиента функции по области носителя. В нашем случае  $f(x, y)$  есть значение сигнала (яркости) изображения, которое можно считать неотрицательным и ограниченным, а значит, пределы интегрирования в (7) можно ограничить диапазоном  $[0, T]$ , где  $T$  — максимальное допустимое значение.

В отличие от  $v_0$  и  $v_1$  характеристика  $v_2(e_t)$  не представляет интереса для оценки сложности функции. Рассматривая  $v_2(e_t)$  как сумму площадей всех компонент сечения уровня  $t$  функции яркости  $f(x, y)$ , разделенных границами, очевидно, что  $v_2(e_t) = S(D)$ , т. е. равно площади всего множества  $D$ , и тем самым дополнительной информации не несет.

Можно предположить, что полезным окажется использование подмножества  $\tilde{v}_2(e_t)$  ( $\tilde{v}_2(e_t) \subset v_2(e_t)$ ), состоящего, скажем, только из тех точек  $(x, y)$ , для которых выполняется  $f(x, y) \geq t$ . По аналогии с (7) определим третий функционал как интеграл плоской вариации

$$w_3(f) = \int_0^T \tilde{v}_2(e_t) dt,$$

значение которого будет равно объему трехмерной фигуры, ограниченной функцией  $f(x, y)$  и плоскостью  $z(x, y) = 0$ . Поскольку  $f(x, y)$  задана на ограниченном двумерном множестве  $D \ni (x, y)$ , справедливо выражение  $\tilde{v}_2(e_t)/S(D) = 1 - F_f(t)$ , где  $S(D)$  — площадь  $D$ , а  $F_f(t)$  — функция распределения значений  $f(x, y)$ . Отсюда

$$\tilde{v}_2(e_t) = S(D) \left( 1 - \int_0^t h(z) dz \right) = S(D) \int_t^T h(z) dz,$$

где  $h(z) = p\{f(x, y) = z\}$  есть плотность вероятности значений функции  $f(x, y)$ . Легко видеть, что при этом соотношение  $w_3(f)/S(D)$  будет равно среднему значению  $f(x, y)$  на  $D$ , или, в интерпретации изображения, его средней яркости. Это означает, что функционал  $w_3(f)$  также не содержит информации о структуре  $f(x, y)$ . Тем самым, для оценки сложности функции  $f(x, y)$  остаются только две вышеприведенные вариации  $w_1(f)$  и  $w_2(f)$ .

В случае дискретной функции  $f(i, j)$  двумерные вариации (7) выражаются следующими формулами:

$$w_1(f) = \sum_{x=0}^{T-1} \frac{v_0(e_t)}{T}; \quad w_2(f) = \sum_{x=0}^{T-1} \frac{v_1(e_t)}{T}. \tag{8}$$

где  $T$  — общее число возможных значений функции  $f(i, j)$  (для изображения — число градаций яркости). При вычислении вариаций в качестве множества  $e_t$  выступает бинарная матрица  $\mathbf{B} = \{b(i, j)\}$ , строящаяся следующим образом:

$$b(i, j) = \begin{cases} 0, & \text{если } f(i, j) < t; \\ 1, & \text{если } f(i, j) \geq t. \end{cases}$$

Дискретизация изображения осуществляется, как правило, на квадратной решетке. При этом значение  $v_0(e_t)$  определяется как сумма числа связных компонент, составленных из соседствующих (в смысле 4-соседства [19]) элементов изображения со значением  $b(i, j) = 0$  и числа аналогичных связных компонент из элементов с  $b(i, j) = 1$ . Значение  $v_1(e_t)$  есть суммарная длина границ компонент  $v_0(e_t)$ . В случае дискретной функции  $f(i, j)$  значение  $v_1(e_t)$  зависит от способа вычисления длины границы. На квадратной решетке длину границ чаще всего измеряют в метрике  $L_1$ , определяя  $v_1(e_t)$  как суммарное число сегментов решетки, разделяющих элементы с несовпадающими значениями.

Формальное вычисление значений вариаций согласно (8) на ограниченном носителе  $D$  предполагает, что сама область  $D$  также учитывается в качестве отдельной компоненты.

Это приводит к следующему противоречию. Вариации  $w_1$  и  $w_2$  для функции постоянного значения  $f(i, j) = \text{const}$ , для которой они, очевидно, должны быть равны нулю, оказываются ненулевыми:  $w_1(f) = 1$ , а  $w_2(f) = P(D)$  — периметру области  $D$ . Для устранения данного противоречия следует модифицировать формулы (8) следующим образом:

$$w_1(f) = \left( \sum_{x=0}^{T-1} \frac{v_0(e_t)}{T} \right) - 1; \quad w_2(f) = \left( \sum_{x=0}^{T-1} \frac{v_1(e_t)}{T} \right) - P(D). \quad (9)$$

В дальнейшем значения  $w_1$  и  $w_2$  для дискретной функции  $f(i, j)$  на ограниченном носителе будут пониматься именно в смысле (9). Будучи нормированным на величину диапазона  $T$ , значение  $w_1$  является характеристикой числа и амплитуды объектов изображения, образующих в сечениях отдельные компоненты. Поэтому значение  $w_1$  удобно именовать *показателем числа объектов* изображения. Можно также показать, что значение второй вариации  $w_2(f)$  в (8) будет совпадать со значением дискретной вариации Тонелли (5).

#### 4 Показатель размеров объектов изображения

Получаемые значения вариаций Кронрода позволяют оценить некоторые параметры изображения, которые отражают как амплитудные, так и морфологические его характеристики. Значение первой вариации  $w_1$  отражает число и контраст деталей на изображении, а значение второй,  $w_2$ , — сумму периметров деталей. Наряду с этим, важным выглядит соотношение вариаций  $q_w(f) = w_2(f)/w_1(f)$ , которое отражает средний периметр деталей на изображении (здесь предполагаем, что  $w_1 > 0$ , иначе  $q_w(f) = 0$ ).

В дискретном изображении наименьшим возможным объектом является один элемент (пиксель). Это значит, что минимально возможная компонента из числа входящих в множество уровня  $e_t$  имеет линейный размер, равный одному шагу дискретизации. Периметр такой компоненты из одного элемента будет равен 4 — значению, которое есть аналог числа  $\pi$  в метрике  $L_1$  и является минимально возможным для соотношения периметр/площадь объекта. Предполагая, что в дискретном случае длина границ компонент, составляющих  $v_1(e_t)$ , измеряется в метрике  $L_1$ , очевидно, что и для  $q_w(f)$  также существует минимально возможное значение, которое тоже равно 4, причем минимум достигается в случае, когда все компоненты множеств уровня  $e_t$  для всех  $t$  являются одноэлементными. В связи со сказанным удобно ввести характеристику

$$d(f) = \frac{q(f)}{4}, \quad (10)$$

которую по аналогии с показателем числа объектов  $w_1$  в (9) естественно назвать *показателем размеров объектов* изображения; для нее будет выполняться соотношение  $d(f) \geq 1$ .

#### 5 Двумерная вариация как оценка сложности изображения

Для изображений с преобладанием мелких деталей, которые на множествах уровня отображаются компонентами небольших размеров, значения  $d$  будут малыми, а для изображений с крупными деталями — большими. Отметим, что к деталям изображения относятся также и шумы, являющиеся локальными выбросами сигнала и проявляющиеся на множествах уровня как самостоятельные компоненты с минимально возможным периметром. В связи с этим значение  $d$  должно убывать при увеличении числа и амплитуды шумовых выбросов. Ниже этот факт подтверждается экспериментально.

Особый интерес представляет поведение значений  $w_1(f)$  и  $d(f)$  при возможных преобразованиях функции  $f(x, y)$ . Для некоторых важных частных случаев можно сформулировать следующие утверждения.

1. Значение  $w_1$  не зависит от выбора системы координат, а  $d$  зависит от выбора или поворота системы координат относительно носителя  $D$  лишь в степени точности дискретизации  $f(x, y)$ .
2. При линейных амплитудных преобразованиях вида  $Cf(x, y)$ , где  $C$  — константа, значение  $w_1$  увеличивается пропорционально  $C$ , а значение  $d$  не изменяется.
3. При линейном пространственном растяжении носителя  $D$  в  $K$  раз значение  $w_1$  не изменяется, а значение  $d$  увеличивается также в  $K$  раз.
4. Расширим  $D$  добавлением области  $U$ , на которой  $f(x, y)$  имеет постоянное значение, т. е.  $f(x, y) = \text{const}$   $\{(x, y) \in U \subset \tilde{D} = D \cup U\}$ , с условием, что при расширении не возникает новых участков разрыва первого рода. Такое расширение не приводит к изменению значений  $w_1$  и  $d$ .
5. При увеличении количества деталей на изображении (но при сохранении необходимых статистических соотношений и распределений) значение  $w_1$  пропорционально увеличивается, а  $d$  не изменяется.
6. Пусть область  $D$  прямоугольна, и по выбранной оси, скажем, оси  $Y$ , ограничена отрезком  $[a, b]$ . Расширим ее областью  $U$ , заданной на полуотрезке  $(b, c]$ , на котором  $f(x, y)$  имеет зеркальное продолжение:  $f(x, b+y) = f(x, b-y)$ . При таком расширении значение  $w_1$  возрастает пропорционально изменению площади, тогда как значение  $d$  не меняется.

Таким образом, при указанных изменениях двумерной функции  $f(x, y)$  как минимум одно из значений  $w_1$  и  $d$  оказывается инвариантом, второе же значение является предсказуемой функцией преобразования. Применительно к изображениям утверждение 2 соответствует линейному изменению контраста; утверждение 3 — линейной геометрической трансформации; утверждение 4 — добавлению/удалению участков изображения с ровным фоном без деталей; утверждение 5 близко предыдущему и соответствует концентрации/разреженности деталей на изображении; утверждение 6 — вариант зеркальной пролонгации изображения за рамки области  $D$ , часто используемый алгоритмами локального анализа. Кроме того, повторение свойств части изображения на всем изображении по существу означает однородность (стационарность), т. е. достаточность определения значений  $w_1$  и  $d$  на доверительном участке и интерпретации их для изображения в целом.

Отметим важную особенность введенного показателя размеров объектов  $d(f)$ , имеющую следствие в утверждениях 2 и 5. Характеристика  $d(f)$  обладает тем свойством, что отражает лишь средние размеры объектов на изображении и не зависит от их количества и контраста самих объектов — эту часть информации несет вариация  $w_1(f)$ .

Из сказанного ясно, что первая вариация  $w_1(f)$  вместе с характеристикой  $d(f)$  отражают пространственную и яркостную изменчивость изображения и в совокупности могут служить показателями сложности изображения в соответствии с требованиями, сформулированными во введении. Различное поведение указанных характеристик подтверждает ту изначальную гипотезу Кронрода, что для описания изменчивости двумерных функций какой-то одной вариации недостаточно и следует использовать два независимых функционала.

## 6 О сравнении и интерпретации оценок

Поскольку характеристик сложности оказывается две, причем они, вообще говоря, независимы, то возникает естественный вопрос, как с их помощью сравнивать различные



изображения между собой. Достаточно очевидно, что если характеристика  $d(f)$  постоянна, то с увеличением  $w_1(f)$  сложность изображения будет возрастать; также сложность будет возрастать и с уменьшением  $d(f)$  при постоянном  $w_1(f)$ . Тогда, если для пары изображений  $f_1$  и  $f_2$  выполняются соотношения  $w_1(f_1) < w_1(f_2)$  и  $d(f_1) > d(f_2)$ , то естественно полагать, что изображение  $f_2$  является более сложным, чем  $f_1$ . Остается вопрос, как сравнивать другие случаи.

Рассмотрим изображение с малым значением  $w_1$  и большим значением  $d$ ; такие соотношения означают, что на изображении имеется малое число деталей больших размеров (с большими периметрами). Если значения  $w_1$  и  $d$  малы, это свидетельствует о том, что деталей на изображении содержится мало, причем они небольшого размера. Случай одновременно больших значений  $w_1$  и  $d$ , означающий наличие большого числа деталей больших размеров, как очевидно, ограничен размерами самой области  $D$ . Во всех подобных случаях обычно принято говорить, что оценка сложности зависит от конкретной задачи.

В некоторых случаях оптимизация в многомерном пространстве затруднительна и приходится из нескольких функционалов тем или иным образом формировать единое обобщенное значение. В качестве одного из простейших вариантов обобщения можно предложить следующую линейную комбинацию:

$$w(z) = w_1(z) + Cw_2(z) = w_1(z)(1 + Cd(z)), \quad (11)$$

которая может, например, применяться в задачах восстановления в качестве стабилизирующего функционала  $\Omega(z)$ .

## 7 Использование оценки сложности в задачах восстановления

Численные оценки сигнала актуальны при решении различных задач, в частности классической оптимизационной задачи восстановления искаженного сигнала методом регуляризации [20], которая формулируется следующим образом. Пусть исходный сигнал  $z$  искажен оператором  $A$  (линейным или нелинейным) и шумом  $\xi$ , в результате чего наблюдается сигнал  $u = A(z) + \xi$ . Полагая оператор  $A$  с определенной точностью известным, строится восстанавливающий оператор  $\hat{A}$  (алгоритм)  $\hat{A}(u) \Rightarrow \{z_\alpha\}$ , отображающий  $u$  на множество допустимых результатов  $z_\alpha \in Z$ . Вычисляется функционал

$$\varphi_\alpha(u, \lambda) = \|Az_\alpha - u\| + \lambda\Omega(z_\alpha), \quad (12)$$

где  $\Omega(z_\alpha)$  — неотрицательный стабилизирующий функционал, а  $\lambda$  — регуляризирующий параметр. Оптимальный на  $Z$  результат  $z^*$  находится путем минимизации функционала  $\varphi_\alpha(u, \lambda)$  при выбранном значении  $\lambda$ :

$$\varphi_{z^*}(u, \lambda) = \inf_{z_\alpha \in Z} \varphi_\alpha(u, \lambda). \quad (13)$$

Восстанавливающий оператор  $\hat{A}$  строится исходя из предположений о свойствах искажающего оператора  $A$  и зависит от конкретных условий. В каких-то случаях, как в задаче линейного восстановления [20], он может быть обратным оператором  $\hat{A} = A^{-1}$ , в других, как, например, в задаче фильтрации шума на основе полной вариации [21], — единичным оператором  $\hat{A} = E$  или каким-то другим.

Важным является то, что в отличие от восстанавливающего оператора  $\hat{A}$  стабилизирующий функционал  $\Omega(z)$ , вообще говоря, не зависит от искажающего преобразования и выбирается как некоторая характеристика сигнала  $z$ , которая может задаваться исходя

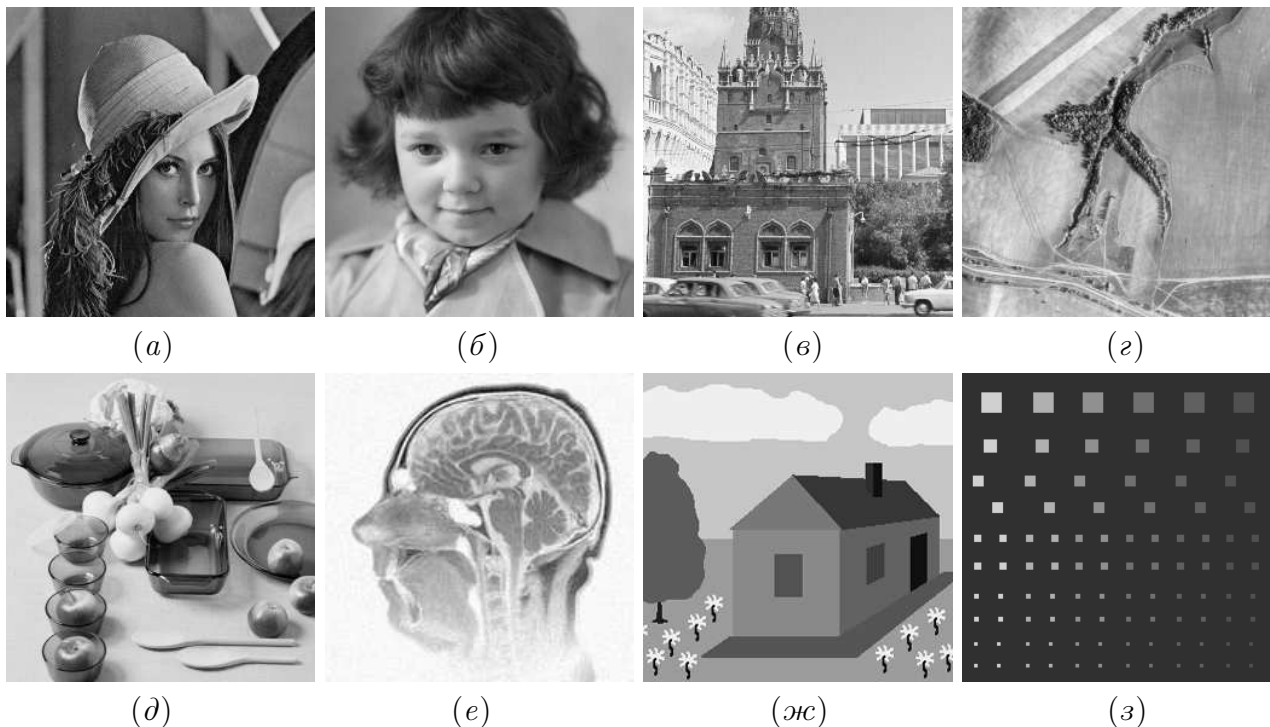
из модели сигнала. Для одномерных функций обычно предлагается использовать оценки типа нормы или вариации [20]. В контексте нашей задачи функционал  $\Omega(z)$  можно интерпретировать как оценку сложности сигнала. В качестве такового может использоваться значение  $w(z)$  из (11).

## 8 Значения оценок сложности для различных изображений

Представляет интерес, насколько измеряемые значения сложности  $w_1(f)$  и  $d(f)$  могут меняться от изображения к изображению, как они зависят от уровня шумов и как изменяются при сглаживании. При проведении подобных экспериментов требуется сравнение сигнала, получаемого при преобразовании, с неким эталонным и неискаженным. Сформировать такое эталонное изображение можно, основываясь на двухмасштабной многокомпонентной модели изображения [16]. Согласно данной модели, изображение  $f(i, j)$  представляется как аддитивная смесь двух компонент: кусочно-гладкой  $S(i, j)$  и текстурно-шумовой  $\tau(i, j)$ . Последняя в свою очередь несет информацию о текстуре, мелких деталях  $t(i, j)$  и шуме  $\xi(i, j)$ :

$$f(i, j) = S(i, j) + \tau(i, j) = S(i, j) + t(i, j) + \xi(i, j). \quad (14)$$

Для локальных алгоритмов обработки результат преобразования в каждой точке  $(i, j)$  зависит лишь от элементов, попадающих в ограниченную и сравнительно небольшую область анализа  $R(i, j)$ . В [16] показано, что в таком случае для большинства реальных изображений можно считать, что  $S(u, v) = S(i, j)$  при условии  $(u, v) \subset R(i, j)$ . Таким образом в пределах области  $R(i, j)$  значение  $S(u, v)$  полагается постоянным. Это позволяет



**Рис. 1** Тестовые изображения: (а) и (б) портреты с мелкими и крупными деталями; (в), (г) и (д) городской ландшафт, аэрофотоснимок и натюрморт соответственно; (е) компьютерная томограмма; (жс) синтезированный рисунок с протяженными кусочно-постоянными объектами; (з) тестовый сигнал с деталями различных размеров и яркости на ровном фоне

**Таблица 1** Значения двумерных вариаций, показателя размеров объектов ( $d$ ) и энтропии ( $E$ ) для изображений на рис. 1

Изображение	$A/T$	$P$	$V/F/H$	$K-w_1$	$K-w_2$	$d$	$E$
<i>a</i>	5242,72	3715,70	2859,43	469,85	5250,25	2,80	7,59
<i>б</i>	2583,56	1825,14	1038,43	129,23	2586,58	5,01	7,60
<i>в</i>	7928,75	6072,46	3497,91	618,79	7935,70	3,21	7,59
<i>г</i>	4178,20	2954,15	1981,67	332,67	4184,39	3,16	7,19
<i>д</i>	3256,29	2389,90	1562,20	256,84	3260,76	3,18	7,34
<i>e</i>	5107,64	3642,48	2499,84	419,62	5108,65	3,05	6,76
<i>ж</i>	1160,50	1021,17	528,25	11,34	1160,48	25,58	3,11
<i>з</i>	811,67	778,54	132,52	33,13	811,67	6,12	0,58
<i>з + шум</i>	1944,96	1539,15	945,04	233,96	1944,93	2,08	3,63

формировать эталонное изображение как кусочно-постоянный двумерный сигнал, который впоследствии будет подвергаться искажениям и процедурам сглаживания.

Для экспериментов был отобран набор из реальных и синтезированных изображений различной детальности и содержания. Часть изображений представлена на рис. 1.

В табл. 1 и 2 представлены значения двумерных вариаций, измеренных для тестовых изображений на рис. 1. Двумерные вариации Арцела ( $A$ ), Тонелли ( $T$ ), Пьерпонта ( $P$ ), Витали ( $V$ ), Фреше ( $F$ ), Харди ( $H$ ), Кронрода ( $K-w_1$  и  $K-w_2$ ) вычислялись согласно формулам (2)–(6) и (9). Приведены также соответствующие показатели размеров объектов ( $d$ ) согласно (10) и значения энтропии ( $E$ ).

Как видно, значения одних и тех же вариаций для реальных изображений могут различаться в несколько раз, тогда как значения энтропии отличаются очень мало. Это подтверждает сделанный ранее вывод, что энтропия не является подходящей оценкой сложности изображения. Сравнение значений вариаций в табл. 1 и 2 демонстрирует достаточно точное совпадение вариаций Арцела/Тонелли ( $A/T$ ) и второй вариации Кронрода ( $K-w_2$ ) для всех изображений.

Для синтезированных изображений (*ж*) и (*з*) значения вариаций и энтропии оказываются существенно отличающимися от соответствующих значений для реальных изображений. Объясняется это тем, что данные изображения являются кусочно-постоянными и не содержат шума и мелких деталей. Добавление же даже небольшого шума, который обозначен составляющей  $\xi(i, j)$  в (14), резко меняет значения оценок и делает их мало отличимыми от тех, которые были получены для реальных изображений. Это демонстрируется в последней строке табл. 1, соответствующей изображению (*з*), искаженному аддитивным гауссовым шумом с  $\sigma = 2$  градации яркости. Более подробно результаты добавления шума и фильтрации рассматриваются ниже.

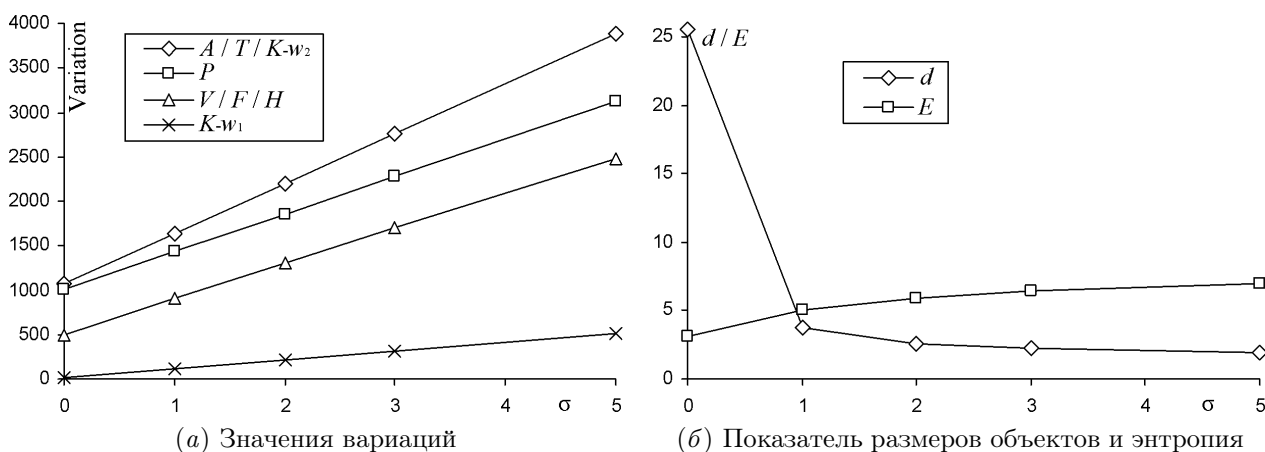
## 9 Влияние шума на оценку сложности изображения

Для определения влияния шума на оценку сложности изображения было выбрано синтезированное изображение с кусочно-постоянными объектами разных размеров и контраста (см. рис. 1, *ж*). На него наносился нормально распределенный аддитивный шум  $N(0, \sigma^2)$  с величиной среднеквадратического отклонения (СКО)  $\sigma = 1, 2, 3$  и 5 градаций яркости. Полученные значения различных двумерных вариаций, показателя размеров объектов ( $d$ ) и энтропии ( $E$ ) представлены графически на рис. 2, а и 2, б, а численно — в табл. 2.

**Таблица 2** Значения двумерных вариаций, показателя размеров объектов ( $d$ ), энтропии ( $E$ ) и их зависимости от уровня шума для изображения на рис. 1,  $\mathcal{J}$

Шум, градации яркости	$A/T$	$P$	$V/F/H$	$K-w_1$	$K-w_2$	$d$	$E$
$\sigma = 0$	1160,50	1021,17	528,25	11,34	1160,48	25,58	3,11
$\sigma = 1$	1641,15	1327,58	909,12	110,27	1644,71	3,73	5,06
$\sigma = 2$	2198,37	1696,72	1303,17	210,29	2204,56	2,62	5,94
$\sigma = 3$	2758,17	2072,65	1697,21	309,89	2766,76	2,23	6,43
$\sigma = 5$	3867,95	2816,74	2487,14	511,75	3892,58	1,90	7,01

Из приведенных данных и графиков можно сделать следующие выводы: (а) с увеличением уровня шума (для выбранного диапазона шумов) значения всех вариаций растут практически линейно; (б) показатель размеров объектов ( $d$ ) сначала резко падает, затем убывает медленно, стремясь к предельному значению 1; (в) энтропия ( $E$ ) асимптотически возрастает до предельного значения 8, равного числу битов в двоичной записи значений яркости; (г) в подтверждение сказанному выше значения вариаций Арцела/Тонелли ( $A/T$ ) и второй вариации Кронрода ( $K-w_2$ ) с большой степенью точности совпадают.



**Рис. 2** Зависимость вариаций ( $Variation$ ), показателя размеров объектов ( $d$ ) и энтропии ( $E$ ) от величины нанесенного гауссова шума ( $\sigma$ , градации яркости) для изображения на рис. 1,  $\mathcal{J}$

## 10 Влияние сглаживания на оценку сложности изображения

Для исследования изменений оценки сложности изображения при сглаживании было сформировано кусочно-постоянное изображение с множеством объектов разных размеров и контраста относительно фона (см. рис. 1,  $\mathcal{J}$ ). Изображение искажалось аддитивным гауссовым шумом с  $\sigma = 5$  градаций яркости, после чего для удаления шума и восстановления изображения применялись сглаживающие алгоритмы локального среднего и локальной медианы [19], а также алгоритм декомпозиции изображения [22].

Алгоритмы сглаживания формулируются следующим образом. Определяется фрагмент анализа  $R(i, j)$  размерами  $L \times L$  с центром в точке  $(i, j)$ . Локальное среднее по точкам  $(m, n)$  фрагмента  $R(i, j)$  задается формулой:

**Таблица 3** Значения СКО, двумерных вариаций ( $K-w_1$  и  $K-w_2$ ), показателя размеров объектов ( $d$ ) и энтропии

№	Вид изображения	СКО	$K-w_1$	$K-w_2$	$d$	Энтропия
1	Исходное	0,00	33,13	811,87	6,13	0,58
2	С шумом, $\sigma = 5$ градаций яркости	5,00	533,71	3644,04	1,71	4,93
3	Локальное среднее	19,30	8,83	463,95	13,13	4,08
4	Локальная медиана	20,26	6,80	253,46	10,51	2,09
5	Декомпозиция (1 итерация)	0,64	36,55	872,95	5,97	1,68
6	Декомпозиция (3 итерации)	0,63	32,89	822,22	6,25	1,62

$$A_f(i, j) = \frac{1}{L^2} \sum_{(m,n) \in R(i,j)} f(m, n). \quad (15)$$

Локальная медиана по множеству точек того же фрагмента записывается как

$$M_f(i, j) = \text{med}\{f(m, n) \mid (m, n) \in R(i, j)\}. \quad (16)$$

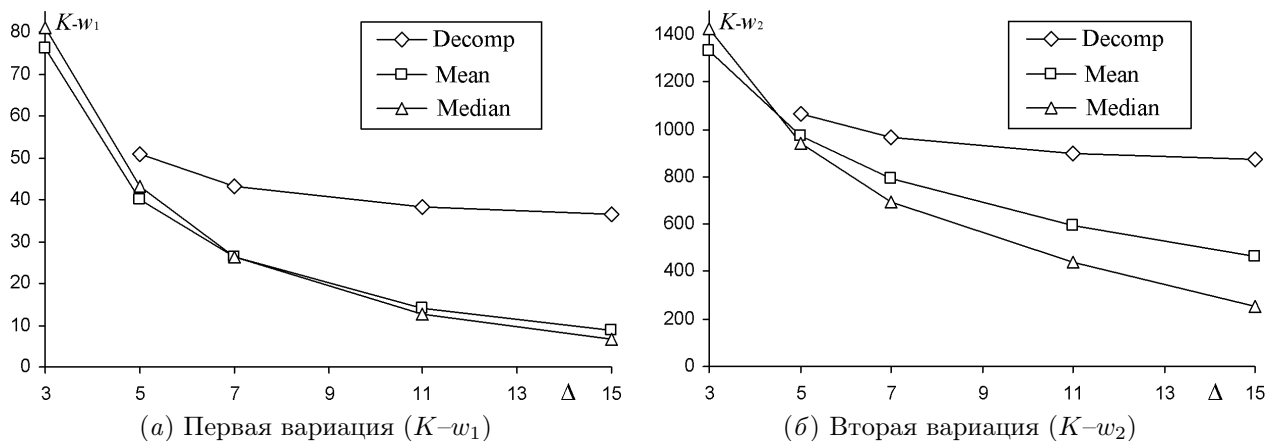
Согласно многокомпонентному представлению (14), изображение  $f(i, j)$  представляет собой сумму кусочно-гладкой компоненты  $S(i, j)$  и текстурно-шумовой компоненты  $\tau(i, j)$ , несущей информацию о текстуре, мелких деталях и шуме. Декомпозиция [22] имеет целью разделение изображения  $f(i, j)$  на указанные компоненты. Из них в данном случае нас интересует сглаженная компонента  $S(i, j)$ . Алгоритм заключается в том, что для каждой точки изображения  $(i, j)$  производится последовательный локальный анализ сначала по внутренней окрестности  $r(i, j)$  малого размера  $l \times l$ , а затем по окружающему ее фрагменту  $R(i, j)$  большого размера  $L \times L$  ( $r \subset R, l < L$ ). Для анализа множества значений элементов, попадающих в соответствующие фрагменты  $r(i, j)$  и  $R(i, j)$ , используются методы, основанные на порядковых статистиках. Применяемые методы близки известному сигма-фильтру [23], который в свою очередь является частным случаем парзеновского окна [24]. Подробно алгоритм декомпозиции описан в [22, 25].

Результаты преобразований в виде значений двумерных вариаций  $w_1$  и  $w_2$ , а также показателя размеров объектов  $d$  приведены в табл. 3. Строка 1 соответствует эталонному изображению; 2 — искаженному шумом. Остальные строки отражают результаты фильтрации зашумленного изображения различными алгоритмами сглаживания при одинаковом размере фрагмента анализа ( $15 \times 15$  элементов): 3 — локальное среднее (15); 4 — локальная медиана (16); 4 — сглаженная компонента  $S(i, j)$  в (14) после одной итерации декомпозиции; 5 — сглаженная компонента  $S(i, j)$  после 3 итераций декомпозиции. Остальные значения вариаций и показателя размеров объектов, получаемые при использовании фрагментов сглаживания других размеров, представлены графически на рис. 3 и 4.

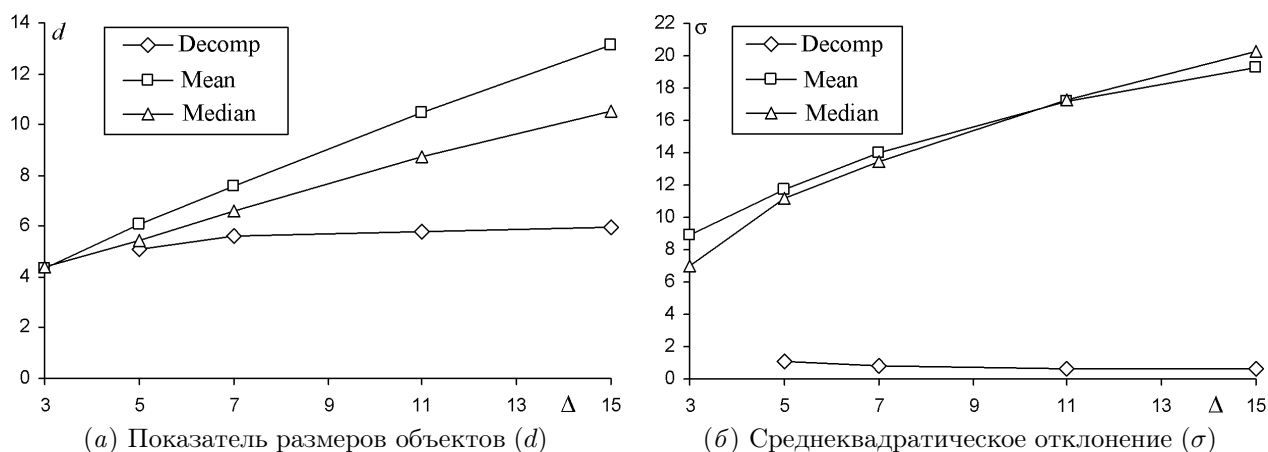
На рис. 3 и 4 показаны зависимости первой и второй вариаций Кронрода ( $w_1$  и  $w_2$ ), а также показателя размеров объектов ( $d$ ) и СКО результата фильтрации от неискаженного оригинала в зависимости от размеров фрагмента сглаживания (величина  $\Delta$  изменяется от  $3 \times 3$  до  $15 \times 15$  элементов) для результатов фильтрации алгоритмами локального среднего (Mean), локальной медианы (Median) и декомпозиции (Decomp).

Анализируя полученные результаты, отметим следующее.

1. С увеличением размеров фрагмента сглаживания значения первой ( $w_1$ ) и второй ( $w_2$ ) вариаций Кронрода, а также показателя размеров объектов ( $d$ ) для алгоритма деком-



**Рис. 3** Зависимость первой ( $K-w_1$ ) и второй ( $K-w_2$ ) вариаций Кронрода от размеров фрагмента сглаживания ( $\Delta$ )



**Рис. 4** Изменение показателя размеров объектов ( $d$ ) и СКО ( $\sigma$ ) результата фильтрации от искаженного оригинала в зависимости от размеров фрагмента сглаживания ( $\Delta$ )

позиции стремятся к постоянным значениям, в то время как для алгоритмов локального среднего и локальной медианы они либо стремятся к нулю, либо возрастают почти линейно (см. рис. 3 и 4, а).

2. Точность восстановления изображения, искаженного шумом, при использовании алгоритма декомпозиции возрастает с увеличением размера фрагмента сглаживания и числа итераций, а алгоритмы локального среднего или локальной медианы при этом дают все более отличающиеся от оригинала результаты (см. табл. 3 и рис. 4, б).
3. Значения вариаций ( $w_1$  и  $w_2$ ) и показателя размеров объектов ( $d$ ) в результате декомпозиции возвращаются к значениям, близким тем, которые соответствуют исходному неискаженному изображению (см. табл. 3). То, что данные значения выходят на плато одновременно с асимптотическим приближением к нулю величины отклонения от оригинала (см. рис. 4, б), говорит о стабилизации результата преобразования вблизи исходного неискаженного изображения.
4. Стремление для обычных вариантов сглаживания значений  $w_1$  и  $w_2$  к нулю, а значений  $d$  к возрастанию означает уменьшение сложности изображения, что говорит о раз-

рушении сигнала изображения. Выход тех же значений на плато в случае алгоритма декомпозиции означает, что основная структура деталей изображения сохраняется.

5. Малое значение энтропии (2,09) в строке 4 табл. 3 объясняется особенностью медианной фильтрации сигнала, имеющего ограниченное число значений.

Полученные результаты позволяют сделать вывод, что при условии справедливости модели [16] выбранная совокупность значений  $w_1$  и  $d$  достаточно хорошо отражает морфологическую структуру изображения, в частности такие важные параметры, как число, размеры и заметность деталей изображения, и поэтому может являться оценкой сложности изображения. Определяемая таким способом характеристика может быть использована в качестве оценки сложности изображения, например как стабилизирующий функционал при решении задач восстановления сигнала.

## 11 Заключение

Исследована возможность оценки сложности изображения при помощи двумерных вариаций. Показана редукция многомерных вариаций непрерывных функций к двумерным дискретным функциям. В данном контексте проведено сравнение различных двумерных вариаций; подтверждено преимущество использования двумерной вариации Кронрода. На основе двумерных вариаций введена характеристика, соответствующая среднему значению периметров деталей на изображении. Предложена модификация данной характеристики, названная *показатель размеров объектов*.

Проанализированы изменения значений вариаций при различных трансформациях изображения. Теоретические выводы подтверждены экспериментальными исследованиями. Продемонстрировано влияние преобразований на сложность изображения, которая интерпретируется как характеристика, отражающая число, размеры и заметность деталей на изображении. Показано, что обычные варианты сглаживания приводят к разрушению сигнала изображения, а алгоритм декомпозиции сохраняет основную структуру деталей изображения.

Предложен вариант редукции двух значений вариаций к единственному обобщенному функционалу, который может использоваться в классических оптимизационных схемах.

Проведенные исследования подтверждают, что комбинация показателя числа объектов  $w_1$  и показателя размеров объектов  $d$  отражает морфологическую структуру изображения и может служить оценкой его сложности.

## Литература

- [1] Wang Z., Bovik A. C., Sheikh H. R., Simoncelli E. P. Image quality assessment: From error visibility to structural similarity // IEEE Trans. Image Proc., 2004. Vol. 13. No. 4. P. 600–612.
- [2] Wang Z., Bovik A. C. Modern image quality assessment. — New York, NY, USA: Morgan and Claypool, 2006. 156 p.
- [3] Yu H., Winkler S. Image complexity and spatial information // 5th Workshop (International) on Quality of Multimedia Experience (QoMEX) Proceedings. — Klagenfurt, Austria, 2013. P. 12–17.
- [4] Peters R. A., Strickland R. N. Image complexity metrics for automatic target recognizers // Automatic Target Recognizer System and Technology Conference. — Silver Spring, MD, 1990. P. 30–31.
- [5] Миллюкова О. П. Изображение как функция с ограниченной полной вариацией // Иконика. Цифровая обработка видеoinформации, 2004. — М.: Наука, 1989. С. 19–25.
- [6] Adams C. R., Clarkson J. A. On definitions of bounded variation for functions of two variables // Trans. Am. Math. Soc., 1933. Vol. 36. P. 824.

- [7] Кронрод А. С. О функциях двух переменных // УМН, 1950. Т. 5. № 1. С. 24–134.
- [8] Витушкин А. Г. О многомерных вариациях. — М.: Гостехиздат, 1955. 220 с.
- [9] Иванов Л. Д. Вариации множеств и функций. — М.: Наука, 1975. 352 с.
- [10] Chochia P. A., Milukova O. P. Two-dimensional variation and image decomposition // 6th Workshop (International) on Image Processing and Computer Optics (DIP-97) Proceedings SPIE, 1998. Vol. 3346. P. 329–339.
- [11] Милукова О. П., Чочиа П. А. Об оценке сложности изображений с помощью двумерных вариаций // Информационные процессы, 2012. Т. 12. № 4. С. 362–371.
- [12] Чочиа П. А., Милукова О. П. Сравнение двумерных вариаций в контексте оценки сложности дискретных изображений // Информационные процессы, 2015. Т. 15. № 2. С. 169–182.
- [13] Варакин Л. Е. Теория сложных сигналов. — М.: Советское радио, 1970. 376 с.
- [14] Витушкин А. Г. Оценка сложности задачи табулирования. — М.: Физ.-мат. лит., 1959. 228 с.
- [15] Колмогоров А. Н. Три подхода к определению понятия «количество информации» // Проблемы передачи информации, 1965. Т. 1. Вып. 1. С. 3–11.
- [16] Чочиа П. А. Двухмасштабная модель изображения // Кодирование и обработка изображений. — М.: Наука, 1988, С. 69–87.
- [17] Математическая энциклопедия. Т. 1–5. — М.: Советская энциклопедия, 1977.
- [18] Pierpont J. Lectures on the theory of functions of real variables. — New York, NY, USA: Dover Publications, 1959. Vol. 1. 554 p.
- [19] Гонсалес Р., Вудс Р. Цифровая обработка изображений. — М.: Техносфера, 2012.
- [20] Тихонов А. Н., Арсенин В. Я. Методы решения некорректных задач. — М.: Наука, 1979. 285 с.
- [21] Rudin L. I., Osher S., Fatemi E. Nonlinear total variation based noise removal algorithms // Physica D Nonlinear Phenomena, 1992. Vol. 60. P. 259–268.
- [22] Чочиа П. А. Сглаживание изображения при сохранении контуров // Кодирование и обработка изображений. — М.: Наука, 1988. С. 87–98.
- [23] Lee J.-S. Digital image smoothing and the sigma filter // Computer Vision Graphics Image Proc., 1983, Vol. 24. No. 2. P. 255–269.
- [24] Parzen E. On the estimation of a probability density function and mode // Ann. Math. Stat., 1962. Vol. 33. P. 1065–1076.
- [25] Чочиа П. А. Переход от 2D- к 3D-изображениям: модификация двухмасштабной модели и алгоритмов обработки // Информационные процессы, 2014. Т. 14. № 3. С. 242–255.

Поступила в редакцию 25.05.2015

## References

- [1] Wang, Z., A. C. Bovik, H. R. Sheikh, and E. P. Simoncelli. 2004. Image quality assessment: From error visibility to structural similarity. *IEEE Trans. Image Proc.* 13(4):600–612.
- [2] Wang, Z., and A. C. Bovik. 2006. *Modern image quality assessment*. New York, NY: Morgan and Claypool. 156 p.
- [3] Yu, H., and S. Winkler. 2013. Image complexity and spatial information. *5th Workshop (International) on Quality of Multimedia Experience (QoMEX)*. Klagenfurt, Austria. 12–17.
- [4] Peters, R. A., and R. N. Strickland. 1990. Image complexity metrics for automatic target recognizers. *Automatic Target Recognizer System and Technology Conference*. Silver Spring, MD. 30–31.
- [5] Milukova O. P. 2004. Izobrazenie kak funktsiya s ogranichennoy polnoy vaeiatsiey [Image as a function with limited total variation]. *Ikonika. Tsifrovaya obrabotka videoinformatsii* [Iconika. Digital processing of video information]. Moscow: Nauka. 19–25.



- [6] Adams, C. R., and J. A. Clarkson. 1933. On definitions of bounded variation for functions of two variables. *Trans. Am. Math. Soc.* 36:824.
- [7] Kronrod, A. S. 1950. O funktsiyakh dvukh peremennykh [About two-variable functions]. *Uspekhi matematicheskikh nauk* 5(1):24–134.
- [8] Vitushkin, A. G. 1955. *O mnogomernykh variatsiyakh* [About multidimensional variations]. Moscow: Gostekhizdat. 220 p. (In Russian.)
- [9] Ivanov, L. D. 1975. *Variatsii mnozestv i funktsiy* [Variations of sets and functions]. Moscow: Nauka. 352 p. (In Russian.)
- [10] Chochia, P. A., and O. P. Milukova. 1998. Two-dimensional variation and image decomposition. *6th Workshop (International) on Image Processing and Computer Optics (DIP-97) Proceedings SPIE*. 3346:329–339.
- [11] Milukova, O. P., and P. A. Chochia. 2013. On estimation of the image complexity by two-dimensional variations. *J. Communications Technology Electronics*. 58(6):628–635.
- [12] Chochia, P. A., and O. P. Milukova. 2015. Sravnenie dvumetnykh variatsiy v kontekste otsenki sloznosti diskretnykh izobrazheniy [Comparison of two-variable variations in a context of image complexity assessment]. *Informatsionnye protsessy* 15(2):169–182.
- [13] Varakin, L. E. 1970. *Teoriya sloznykh signalov* [The theory of complex signals]. Moscow: Sovetskoe Radio. 376 p. (In Russian.)
- [14] Vitushkin, A. G. 1959. *Otsenka sloznosti zadachi tabulirovaniya* [The assesment of tabulation task complexity]. Moscow: Fiz.-mat. lit. 228 p. (In Russian.)
- [15] Kolmogorov, A. N. 1965. *Tri podkhoda k opredeleniyu ponyatiya “kolichestvo informatsii”* [Three approaches to difinition of the “information quantity” conception]. *Problems Information Transmission* 1(1):3–11.
- [16] Chochia, P. A. 1988. *Dvukhmasshtabnaya model’ izibrazeniya* [Two-scale image model]. *Kodirovanie i obrabotka izobrazeniy* [Image coding and processing]. Moscow: Nauka. 69–87.
- [17] *Matematicheskaya entsiklopediya* [Mathematical encyclopedia]. 1977. Moscow: Sovetskaya entsikloprdiya. Vols. 1–5.
- [18] Pierpont, J. 1959. *Lectures on the theory of functions of real variables*. New York, NY: Dover Publications. Vol. 1. 554 p. (In Russian.)
- [19] Gonzalez, R. C., and R. E. Woods. 2008. *Digital image processing*. Reading, Mass.: Addison-Wesley. 954 p.
- [20] Tikhonov, A. N., and V. Ya. Arsenin. 1979. *Metody resheniya nekorrektnykh zadach* [The methods for ill-posed problems decision]. Moscow: Nauka. 285 p. (In Russian.)
- [21] Rudin, L. I., S. Osher, and E. Fatemi. 1992. Nonlinear total variation based noise removal algorithms. *Physica D Nonlinear Phenomena* 60:259–268.
- [22] Chochia, P. A. 1988. Sglazivanie izobrazeniy pri sokhraneni konturov [Image smoothing under preservation of contours]. *Kodirovka i obrabotka izobrazeniy* [Image coding and processing]. Moscow: Nauka. 87–98.
- [23] Lee, J.-S. 1983. Digital image smoothing and the sigma filter. *Computer Vision Graphics Image Processing* 24(2):255–269.
- [24] Parzen, E. 1962. On the estimation of a probability density function and mode. *Ann. Math. Stat.* 33:1065–1076.
- [25] Chochia, P. A. 2015. Transition from 2D- to 3D-images: Modification of two-scale image model and image processing algorithms. *J. Communications Technology Electronics* 60(6):678–687.

Received May 25, 2015